

## РАЗДЕЛ I МОДЕЛИРОВАНИЕ ПРОЦЕССОВ ОБРАБОТКИ ДАВЛЕНИЕМ

УДК 539.37+539.214

Чигиринский В. В.  
Шейко С. П.  
Ечин С. М.

### ПРОСТРАНСТВЕННАЯ ЗАДАЧА ТЕОРИИ ПЛАСТИЧНОСТИ

Необходимость аналитического решения пространственной задачи теории пластичности очевидна. В общем виде напряжённое и деформированное состояние металла в каждой точке очага деформации разное. Это приводит к неоднородности физических и механических свойств металла, неоднозначности определения силовых параметров процесса, расхода энергии. Появились работы, показывающие влияние пластической деформации на структурно-фазовые превращения в металле. В этой связи определение напряжённого состояния в каждой точке очага деформации является актуальной проблемой.

На базе метода гармонических функций [1–5] разрабатываются подходы решения пространственной задачи теории пластичности. Это связано с тем, что в решениях учитываются, по напряжениям и деформациям, переходы из одной зоны пластического течения в смежную. Данные переходы определяются гармоническими сложными функциями, в состав которых входят тригонометрические зависимости от координат очага деформации. Анализ показывает, что в постановочной части задачи должны присутствовать дифференциальные уравнения, определяющие в решении такие переходы. Это обобщённые уравнения равновесия по разным направлениям, в которых разрешающей функцией являются касательные напряжения

Задача ставится и решается в замкнутом виде, с учётом кинематических условий. С целью упрощения анализа принимаем  $\tau_{xy} = 0$ . Во многих решениях задач обработки металлов давлением влиянием данного компонента тензора напряжений пренебрегают [6], [7].

Целью работы является разработка математической модели процесса объёмной пластической деформации.

На рис. 1 показан в плане очаг деформации и рассматриваемые касательные напряжения. Предполагается, что вдоль оси  $X$  действуют только касательные напряжения  $\tau_{xz}$ , а вдоль оси  $Y$  напряжения  $\tau_{yz}$ .

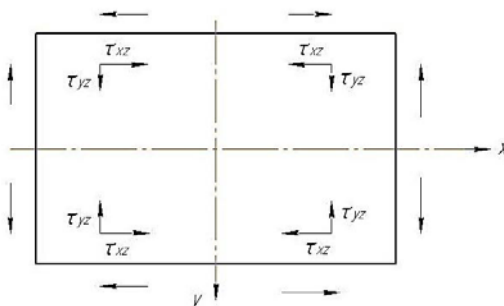


Рис. 1. Схема действия касательных напряжений в плане для пространственной задачи

Допускается, что вдоль осей  $X$  и  $Y$  имеет место плоскодеформированное состояние. Тогда, для оси  $X - \tau_{yz} = 0$ , оси  $Y - \tau_{xz} = 0$ . Данный фактор должен быть учтен при постановке задачи. Стрелками по контуру показано течение металла вдоль осей  $X$  и  $Y$ . На осях изменяется направление течения металла, следовательно, знак касательных напряжений. В соответствии с выше сказанным имеет место следующая постановка задачи.

1. Уравнения равновесия:

$$\frac{\partial \sigma_x}{\partial x} + \frac{\partial \tau_{xz}}{\partial z} = 0; \quad \frac{\partial \tau_{yz}}{\partial z} + \frac{\partial \sigma_y}{\partial y} = 0, \quad \frac{\partial \tau_{xz}}{\partial x} + \frac{\partial \tau_{yz}}{\partial y} + \frac{\partial \sigma_z}{\partial z} = 0. \quad (1)$$

2. Обобщенные уравнения равновесия:

$$\frac{\partial^2 \tau_{xz}}{\partial x^2} - \frac{\partial^2 \tau_{xz}}{\partial z^2} = \frac{\partial^2}{\partial x \partial z} 2k_1 \sqrt{1 - \left(\frac{\tau_{xz}}{k_1}\right)^2}; \quad \frac{\partial^2 \tau_{yz}}{\partial y^2} - \frac{\partial^2 \tau_{yz}}{\partial z^2} = \frac{\partial^2}{\partial y \partial z} 2k_2 \sqrt{1 - \left(\frac{\tau_{yz}}{k_2}\right)^2}. \quad (2)$$

3. Уравнения связи:

$$\frac{\sigma_x - \sigma_z}{2\tau_{xz}} = \frac{\xi_x - \xi_z}{\dot{\gamma}_{xz}} = \frac{2\xi_x + \xi_y}{\dot{\gamma}_{xz}}; \quad \frac{\sigma_y - \sigma_z}{2\tau_{yz}} = \frac{\xi_y - \xi_z}{\dot{\gamma}_{yz}} = \frac{2\xi_y + \xi_x}{\dot{\gamma}_{yz}}. \quad (3)$$

4. Уравнение несжимаемости:

$$\xi_x + \xi_y + \xi_z = 0. \quad (4)$$

5. Уравнения неразрывности скоростей деформаций:

$$\frac{\partial^2 \xi_x}{\partial z^2} + \frac{\partial^2 \xi_z}{\partial x^2} = \frac{\partial^2 \dot{\gamma}_{zx}}{\partial z \partial x}, \quad \frac{\partial^2 \xi_y}{\partial z^2} + \frac{\partial^2 \xi_z}{\partial y^2} = \frac{\partial^2 \dot{\gamma}_{zy}}{\partial z \partial y}, \quad (5)$$

6. Граничные условия:

$$\tau_{n1} = k_1 \cdot \text{Sin}(A_1 \Phi_1 - 2\alpha_1), \quad \tau_{n2} = k_2 \cdot \text{Sin}(A_2 \Phi_2 - 2\alpha_2), \quad (6)$$

Решение плоских задач в аналитическом виде представлено в работах [1–5]. Для удовлетворения граничных условий вида (6) необходимо:

$$\tau_{xz} = k_1 \cdot \text{Sin} A_1 \Phi_1, \quad \tau_{yz} = k_2 \cdot \text{Sin} A_2 \Phi_2, \quad (7)$$

где  $A_1$  и  $A_2$  – постоянные, определяющие параметры пластической среды;

$\Phi_1$  и  $\Phi_2$  – неизвестные координатные функции, определяемые решением задачи;

$k_1, k_2$  – сопротивление пластической деформации сдвига вдоль осей  $X$  и  $Y$  и, зависящие от координат очага деформации.

Следующей особенностью решения уравнений (2) – это использование фундаментальной функции. Она применяется, если дифференциальное уравнение в частных производных является линейным [8]. Из этого следует:

$$k_1 = C_{\sigma 1} \cdot \exp \theta_1', \quad k_2 = C_{\sigma 2} \cdot \exp \theta_2', \quad (8)$$

где  $C_{\sigma 1}$  и  $C_{\sigma 2}$  – постоянные, определяющие размерность сопротивления сдвигу в направлениях осей  $X$  и  $Y$ ;

$\theta_1$  и  $\theta_2$  – координатные неизвестные функции, определяемые решением задачи вдоль

осей  $X$  и  $Y$ . При этом необходимо иметь в виду, что  $\tau_{xz} = f(x, z)$ ,  $\tau_{yz} = f(y, z)$ .

Подставляя зависимости (7) и (8) в (2), получим следующее:

$$\begin{aligned} & \cdot C_{\sigma 1} \left[ \theta'_{1xx} + (\theta'_{1x} + A_1 \Phi_{1z})^2 - \theta'_{1zz} - (\theta'_{1z} - A_1 \Phi_{1x})^2 \right] \cdot \text{Sin} A_1 \Phi_1 + \\ & + C_{\sigma 1} \left[ 2 \cdot (A_1 \Phi_{1x} - \theta'_{1z}) \cdot (\theta'_{1x} + A_1 \Phi_{1z}) + (A_1 \Phi_{1xx} - A_1 \Phi_{1zz}) \right] \cdot \text{Cos} A_1 \Phi_1 = \\ & = -2 \cdot C_{\sigma 1} \cdot A_1 \Phi_{1xz} \cdot \text{Sin} A_1 \Phi_1 + 2 \cdot C_{\sigma 1} \cdot \theta'_{1xz} \cdot \text{Cos} A_1 \Phi_1. \end{aligned} \quad (9)$$

Принимаем скобки  $(\theta'_{1x} + A_1 \Phi_{1z})$  и  $(\theta'_{1z} - A_1 \Phi_{1x})$  в операторах тригонометрических функций (9) равными нулю. В этом случае избавляемся от нелинейности, получаем соотношения Коши-Римана, которые превращают уравнения в тождество. Имеем:

$$\theta'_{1x} = -A_1 \Phi_{1z}, \quad \theta'_{1z} = A_1 \Phi_{1x}. \quad (10)$$

Из соотношений (10) определяются функции  $\theta'_1$  и  $A_1 \Phi_1$ . Они гармонические и удовлетворяют уравнению Лапласа.

Аналогичные преобразования имеют место и для второго обобщенного уравнения равновесия при подстановке (7) и (8) в (2).

При этом:

$$\theta'_{2y} = -A_2 \Phi_{2z}, \quad \theta'_{2z} = A_2 \Phi_{2y}. \quad (11)$$

Выражения для касательных напряжений можно использовать для определения нормальных напряжений. После разделения переменных и интегрирования дифференциальных уравнений равновесия получим:

$$\begin{aligned} \sigma_x &= C_{\sigma 1} \cdot \exp \theta'_1 \cdot \text{Cos} A_1 \Phi_1 + \sigma + f(y, z) + C_1; \quad \sigma_y = C_{\sigma 2} \cdot \exp \theta'_2 \cdot \text{Cos} A_2 \Phi_2 + \sigma + f(x, z) + C_2. \\ \sigma_z &= -\left( C_{\sigma 1} \cdot \exp \theta'_1 \cdot \text{Cos} A_1 \Phi_1 + C_{\sigma 2} \cdot \exp \theta'_2 \cdot \text{Cos} A_2 \Phi_2 \right) + \sigma + f(x, y) + C_3, \\ \tau_{xz} &= C_{\sigma 1} \cdot \exp \theta'_1 \cdot \text{Sin} A_1 \Phi_1; \quad \tau_{yz} = C_{\sigma 2} \cdot \exp \theta'_2 \cdot \text{Sin} A_2 \Phi_2, \end{aligned} \quad (12)$$

при

$$\begin{aligned} \theta'_{1x} &= -A_1 \Phi_{1y}, \quad \theta'_{1y} = A_1 \Phi_{1x}; \quad \theta'_{1xx} + \theta'_{1zz} = 0, \quad A_1 \Phi_{1xx} + A_1 \Phi_{1zz} = 0. \\ \theta'_{2y} &= -A_2 \Phi_{2z}, \quad \theta'_{2z} = A_2 \Phi_{2y}; \quad \theta'_{2yy} + \theta'_{2zz} = 0, \quad A_2 \Phi_{2yy} + A_2 \Phi_{2zz} = 0. \end{aligned}$$

После подстановки граничных условий в (12) определяем постоянные интегрирования:

$$C_{\sigma 1} = \frac{k_0}{2 \cdot \exp \theta'_{10} \cdot \text{Cos} A_1 \Phi_{10}}; \quad C_{\sigma 2} = \frac{k_0}{2 \cdot \exp \theta'_{10} \cdot \text{Cos} A_1 \Phi_{10}};$$

$$A_1 \Phi_{10} = A_1 A_6 \cdot \frac{l}{2} \cdot \frac{h}{2}; \quad A_2 \Phi_{20} = A_2 A_7 \cdot \frac{b}{2} \cdot \frac{h}{2}; \quad A_1 A_6 = 4 \frac{A_1 \Phi_{10}}{lh}; \quad A_2 A_7 = 4 \frac{A_2 \Phi_{20}}{bh}.$$

Переходя к боковой точке на контактной поверхности, запишем:

$$k_0 \psi_1 = k_0 \frac{\text{Sin} A_1 \Phi_{10}}{\text{Cos} A_1 \Phi_{10}}, \quad k_0 \psi_2 = k_0 \frac{\text{Sin} A_2 \Phi_{20}}{\text{Cos} A_2 \Phi_{20}},$$

или

$$A_1 \Phi_{10} = \text{arctg} \psi_1, \quad A_2 \Phi_{20} = \text{arctg} \psi_2.$$

При этом:

$$\theta'_{10} = -2 \cdot \frac{A_1 \Phi_{10}}{l \cdot h} \cdot \left( \frac{l^2}{4} - \frac{h^2}{4} \right), \quad \theta'_{20} = -2 \cdot \frac{A_2 \Phi_{20}}{b \cdot h} \cdot \left( \frac{b^2}{4} - \frac{h^2}{4} \right).$$

С учётом подстановки и преобразований получим:

$$\begin{aligned} \sigma_x &= -\frac{k_0}{2 \cdot \text{Cos} A_1 \Phi_{10}} \cdot \exp(\theta'_1 - \theta'_{10}) \cdot \text{Cos} A_1 \Phi_1 + \frac{k_0}{2}, \\ \sigma_y &= -\frac{k_0}{2 \cdot \text{Cos} A_2 \Phi_{20}} \cdot \exp(\theta'_2 - \theta'_{20}) \cdot \text{Cos} A_2 \Phi_2 + \frac{k_0}{2}, \\ \sigma_z &= -\left( \frac{3k_0}{2 \cdot \text{Cos} A_1 \Phi_{10}} \exp(\theta'_1 - \theta'_{10}) \text{Cos} A_1 \Phi_1 + \frac{3k_0}{2 \cdot \text{Cos} A_2 \Phi_{20}} \exp(\theta'_2 - \theta'_{20}) \text{Cos} A_2 \Phi_2 \right) + k_0. \end{aligned} \quad (13)$$

Одним из вариантов решения уравнения Лапласа являются выражения:

$$\begin{aligned} A_1 \Phi_1 &= A_1 A_6 \cdot x \cdot z, \quad A_2 \Phi_2 = A_2 A_7 \cdot y \cdot z, \\ \theta'_1 &= -\frac{1}{2} \cdot A_1 A_6 \cdot (x^2 - z^2), \quad \theta'_2 = -\frac{1}{2} \cdot A_2 A_7 \cdot (x^2 - z^2). \end{aligned}$$

При таких подходах решается и деформационная задача теории пластичности, соответствие которой с решениями по напряжениям свидетельствует об одном из действительных решений пространственной задачи:

$$\begin{aligned} \xi_x &= C_{\xi 1} \cdot \exp \theta''_1 \cdot \text{Cos} B_1 \Phi_1, \quad \xi_y = C_{\xi 2} \cdot \exp \theta''_2 \cdot \text{Cos} B_2 \Phi_2, \\ \xi_z &= -\left( C_{\xi 1} \cdot \exp \theta''_1 \cdot \text{Cos} A_1 \Phi_1 + C_{\xi 2} \cdot \exp \theta''_2 \cdot \text{Cos} A_2 \Phi_2 \right), \\ \gamma_{xz} &= 2 \cdot C_{\xi 1} \cdot \exp \theta''_1 \cdot \text{Sin} B_1 \Phi_1, \quad \gamma_{yz} = 2 \cdot C_{\xi 2} \cdot \exp \theta''_2 \cdot \text{Sin} B_2 \Phi_2, \end{aligned}$$

при  $\theta''_{1x} = -B_1 \Phi_{1z}, \quad \theta''_{1z} = B_1 \Phi_{1x}, \quad \theta''_{2y} = -B_2 \Phi_{2z}, \quad \theta''_{2z} = B_2 \Phi_{2y}.$

На рис. 2 и 3 показано распределение нормальных контактных напряжений, (13), вдоль направлений *X* и *Y* соответственно, на разных от них расстояниях.

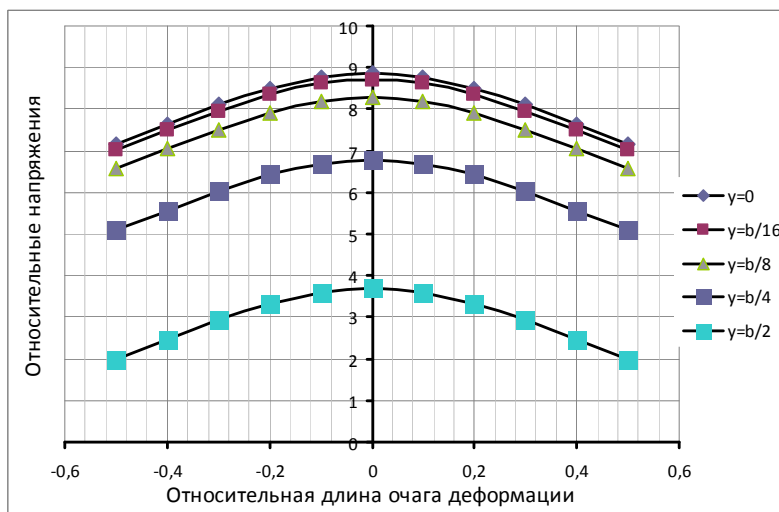


Рис. 2. Распределение нормальных напряжений на контактной поверхности вдоль оси *X* при  $h = 10$  мм,  $b = 140$  мм,  $f = 0,3$ ,  $l = 70$  мм,  $y = 0; \frac{b}{16}; \frac{b}{8}; \frac{b}{4}; \frac{b}{2}$

Вдоль осей  $X$  и  $Y$  напряжения  $\sigma_z$  распределены по выпуклой кривой, что определяется касательными контактными напряжениями  $\tau_{xz}$  и  $\tau_{yz}$ .

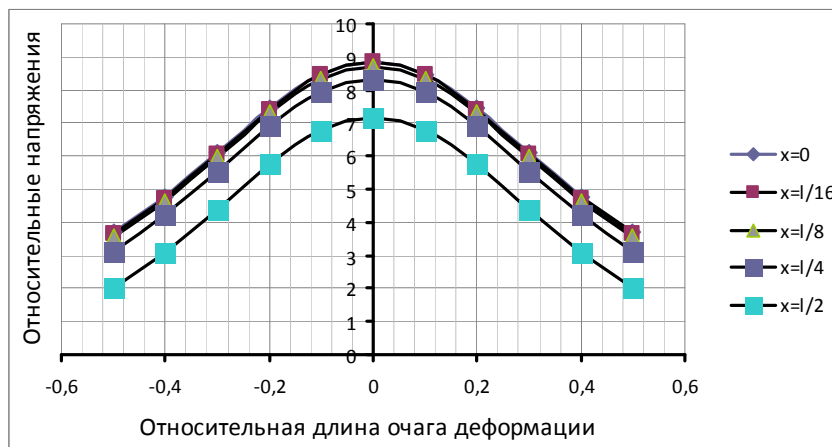


Рис. 3. Распределение нормальных напряжений на контактной поверхности вдоль оси  $Y$  при  $h = 10$  мм,  $b = 140$  мм,  $f = 0,3$ ,  $l = 70$  мм,  $x = 0; \frac{l}{16}; \frac{l}{8}; \frac{l}{4}; \frac{l}{2}$

Причем, на разных расстояниях от осей их значения разные. Чем ближе к боковой или торцевой кромкам, тем они меньше, что соответствует выводам многих работ, включая [7]. На рис. 4, 5 видно, что ширина полосы влияет на величину и характер распределения контактных нормальных напряжений вдоль оси  $X$ , при разных значениях фактора формы  $\left(\frac{l}{h} = 7, \frac{l}{h} = 1\right)$ . С увеличением ширины контактные давления увеличиваются. Необходимо подчеркнуть, что при больших ширинах ( $b > 2l$ ), величина нормальных напряжений резко возрастает, даже при малых значениях  $\frac{l}{h}$ , из-за увеличения коэффициента подпора в поперечном направлении. В работе Губкина [9] этот факт подтверждается.

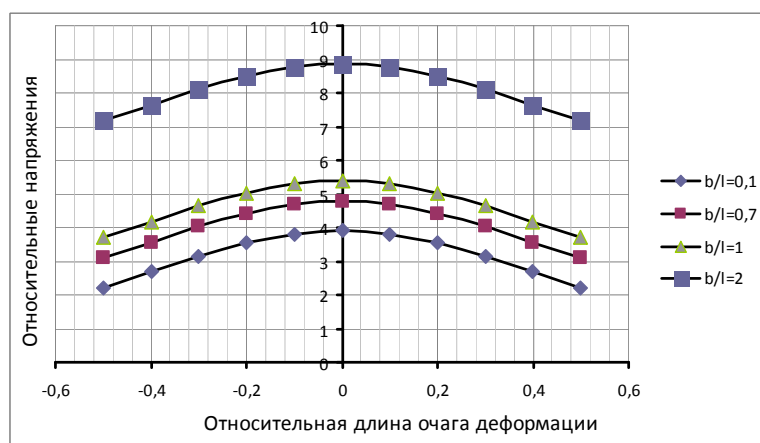


Рис. 4. Влияние ширины полосы на удельное давление при  $h = 10$  мм,  $l = 70$  мм,  $\left(\frac{l}{h} = 7\right)$ ,  $f = 0,3$ ,  $b = 10, 50, 70, 140$  мм,  $y = 0$

Расчеты показывают, что контактное трение и фактор формы существенным образом влияют на значение напряжения  $\sigma_z$ . С увеличением их величина возрастает.

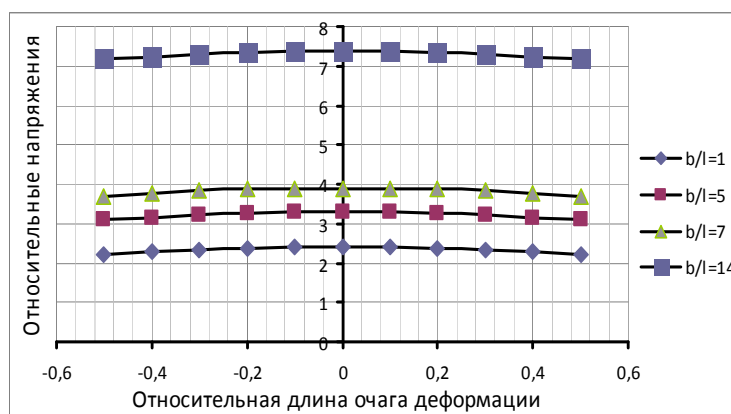


Рис. 5. Влияние ширины полосы на удельное давление при  $h = 10$  мм,  $l = 10$  мм,  $\left(\frac{l}{h} = 1\right)$   $f = 0,3$ ,  $b = 10, 50, 70, 140$  мм,  $y = 0$

## ВЫВОДЫ

Поставлена и решена замкнутая пространственная задача теории пластичности в аналитическом виде.

Расчеты показывают, что при осадке прямоугольной в плане заготовки на шероховатых бойках, пространственная эпюра контактных нормальных напряжений является выпуклой вдоль осей  $X$ ,  $Y$ . Минимальные значения напряжений определяются в углах заготовки.

С увеличением ширины заготовки нормальные контактные напряжения возрастают.

## СПИСОК ИСПОЛЬЗОВАННОЙ ЛИТЕРАТУРЫ

1. Чигиринский В. В. О новых подходах решения задач теории пластичности / В. В. Чигиринский // *Обработка металлов давлением* : сб. науч. тр. – Краматорск : ДГМА, 2009. – № 1 (20). – С. 41–49.
2. Производство высокоэффективного металлопроката / Чигиринский В. В., Мазур В. Л., Бергман Г. В., Леготкин Г. И., Слепынин А. Г., Шевченко Т. Г. – Днепропетровск : Дніпро-ВАЛ, 2006. – 265 с. : ил.
3. Чигиринский В. В. Новое решение плоской задачи теории пластичности / В. В. Чигиринский // *Научные труды ДонНТУ*. – Донецк, 2008. – Выпуск 10 (141). – С. 105–115. – (Серия «Металлургия»).
4. Чигиринский В. В. Метод решения задач теории пластичности с использованием гармонических функций / В. В. Чигиринский // *Изв вузов. Черная металлургия*. – 2009. – № 5. – С. 11–16.
5. Чигиринский В. В. Некоторые особенности теории пластичности применительно к процессам ОМД / В. В. Чигиринский // *Теория и технология процессов пластической деформации-96* : тр. науч.-техн. конф. – М. : МИСиС, 1997. – С. 568–572.
6. Сторожев М. В. Теория обработки металлов давлением / М. В. Сторожев, Е. А. Попов. – М. : Машиностроение, 1977. – 422 с.
7. Целиков А. И. Теория расчета усилий в прокатных станах / А. И. Целиков. – М. : Металлургиздат, 1962. – 495 с.
8. Тихонов А. Н. Уравнения математической физики / А. Н. Тихонов, А. А. Самарский. – М. : Наука, 1977. – 735 с.
9. Губкин С. И. Теория обработки металлов давлением / С. И. Губкин. – М. : Металлургиздат, 1947. – 370 с.

Чигиринский В. В. – д-р техн. наук, проф., зав. каф. ЗНТУ;

Шейко С. П. – канд. техн. наук, доц., докторант ЗНТУ;

Ечин С. М. – студент ЗНТУ.

ЗНТУ – Запорожский национальный технический университет, г. Запорожье.

E-mail: valerij@zntu.edu.ua